



شبیه‌سازی پدیده آوالیسانی حباب با کمک روش شبکه بولتزمن

رضا صادقی^۱، محمدحسن رحیمیان^{۲*}

۱- دانشجوی کارشناسی ارشد، دانشکده مهندسی مکانیک، دانشگاه تهران، تهران
 ۲- دانشیار، دانشکده مهندسی مکانیک، دانشگاه تهران، تهران
 * تهران، کد پستی ۱۴۳۷۸۳۴۴۱۱، rahimyan@ut.ac.ir

چکیده

در مقاله حاضر به بررسی جریان تراکم پذیر ناشی از موج ضربهای و نوسان حباب با مرز متاخرک به روش شبکه بولتزمن می‌پردازیم. شبکه بولتزمن در پیش‌بینی جریان‌های تراکم پذیر با ماخ بالا ناموفق است، اما با تلاش‌هایی که در سال‌های اخیر صورت گرفته است مدل‌های جدیدی برای پایدار کردن جواب‌های معادلات تراکم پذیر ایجاد شده است. روش لکس وندروف اصلاح شده که حل پایداری دارد برای گسترش سازی معادلات بولتزمن استفاده شده است. از مدل‌های تراکم پذیر بر مبنای الگوی اویلری و الگوی سرعت‌های جندگانه نویر استوکسی برای شبیه‌سازی جریان تراکم پذیر در شبکه بولتزمن در این تحقیق استفاده شده است. دینامیک حباب تراکم پذیر به کمک معادله رابلی-پلسه به دست آمده است. شبیه‌سازی موج ضربه در حباب به کمک سایر روش‌های دینامیک سیالات محاسباتی انجام شده است، اما به علت ضعف‌هایی که روش شبکه بولتزمن در جریان تراکم پذیر داشت، تاکنون تلاشی برای بررسی فیزیک این پدیده با این روش انجام نشده است. هدف از این شبیه‌سازی دستیابی به شناختی از توزیع خواص ترمودینامیکی در راستای شاعر حباب هنگام فروبریزش حباب و درنهایت شکل‌گیری پدیده آوالیسانی که ناشی از برخورد امواج شوک در مرکز حباب است، با روش شبکه بولتزمن می‌باشد.

اطلاعات مقاله

مقاله پژوهشی کامل
 دریافت: ۰۸ دی ۱۳۹۳
 پذیرش: ۲۱ اسفند ۱۳۹۳
 ارائه در سایت: ۲۳ فروردین ۱۳۹۴

کلید واژگان:
 جریان تراکم پذیر
 موج ضربه، شبکه بولتزمن
 لکس وندروف اصلاح شده
 رابلی-پلسه

Simulation of Bubble Sonoluminescing Phenomena with Lattice Boltzmann Method

Reza Sadeghi, Mohammad Hasan Rahimyan*

Department of Mechanical Engineering, University of Tehran, Tehran, Iran.
 * P.O.B. 1437834411 Tehran, Iran, rahimyan@ut.ac.ir

ARTICLE INFORMATION

Original Research Paper
 Received 29 December 2014
 Accepted 12 March 2015
 Available Online 12 April 2015

Keywords:
 Compressible Flow
 shock wave
 Lattice Boltzmann
 Modified Lax-Wendroff
 Rayleigh-Plesset

ABSTRACT

In the present paper, solution methods for simulating compressible flows and shock wave simulation by using Lattice Boltzmann Method(LBM) and simulation of shock wave in the bubble with a moving boundary is evaluated. The standard LBM is found to be incapable of predicting compressible flows and confronting instabilities in high Mach number flows. But due to the effort that has been made in recent years, new models for stable solutions of the compressible equations are established. Modified Lax-Wendroff finite difference scheme that has stable solutions has been used for discretizing Lattice Boltzmann equation. In this study, models based on the compressible Euler and compressible multispeed Navier-Stokes to simulate compressible lattice Boltzmann method have been used. The dynamics of compressible bubble using Rayleigh-Plesset equation have been obtained. Simulation of shock wave in the bubble with other computational fluid dynamics methods has been carried out. However, due to the weakness of the Lattice Boltzmann method for compressible flow, no attempt to study the physic of this phenomena has been made with this method. The purpose of this simulation is to achieve a distribution of thermodynamic properties through the radius while collapsing and eventually forming the Sonoluminescence phenomena that is caused by the collision of shock waves in the center of the bubble to another one, with lattice Boltzmann method.

۱- مقدمه

آوالیسانی پدیدهای منحصر به فرد در علم مکانیک سیالات به شمار می‌رود. در یک حجم آب با شکل هندسی معین مثل کره می‌توان به گونه‌ای صوت را منتشر کرد که در آن امواج ایستاده صوتی تشکیل شود. در امواج ایستاده بعضی نقاط گره هستند که همیشه در تعادل می‌باشند و نقاط مابین آنها شکم موج می‌باشند که فشار صوتی در آنها از یک حدکثر تا یک حداقل تغییر می‌کند. یک شی که در میدان صوتی با دامنه بزرگ قرار می‌گیرد، در

Please cite this article using:

R. Sadeghi, M. H. Rahimyan, Simulation of Bubble Sonoluminescing Phenomena with Lattice Boltzmann Method, *Modares Mechanical Engineering*, Vol. 15, No. 5, pp. 383-391, 2015 (In Persian)

برای ارجاع به این مقاله از عبارت ذیل استفاده نمایید:

همکارانش [16] اولینتابع توزیع تعادلی دوگانه³ را بر اساس مدل دوجزئی ارائه دادند و ژو و همکارانش [17] این مدل را بهبود بخشیدند. بن [18] مدلی دوبعدی با سطح انرژی دوگانه ارائه کرد که در معادلات تراکم پذیر اویلر صدق می‌کرد. کو و همکارانش [19] روش پارامترهای غیرآزاد را پیشنهاد دادند آنها تابع توزیع تعادلی جدیدی برای مسائل یکبعدی و دوبعدی پیشنهاد دادند، در این روش تابع توزیع تعادلی ماکسول با تابع دایره‌ای و درون‌یابی چندجمله‌ای جایگزین می‌شود، اما اشکال روش آن‌ها برابر قرار دادن پرانتل و نسبت گرمای ویژه در این روش بود. واتاری و سوتاهارا [20] الگوی چند سرعتی دوبعدی تفاصل محدودی ارائه کردند. واتاری و سوتاهارا [21] بعد از ارائه این مدل الگوی حرارتی سه‌بعدی با پایداری بالا اما گرمای ویژه و عدد پرانتل ثابت ارائه کردند. واتاری [22] الگویی با نسبت گرمای ویژه قابل تنظیم ارائه نمود. چن و همکاران [23] با استفاده از روش لکس وندروف اصلاح شده و الگوی سرعت‌های چندگانه 16 سرعتی موفق شدند پدیده‌هایی با ماخ 30 را نیز شیبیه‌سازی کنند. کاتانوکا و سوتاهارا [24] الگوی زمان آرامش چندگانه با سرعت‌های چندگانه را پیشنهاد دادند. تعداد جهت‌های سرعتی 16 عدد بود. الگوی زمان آرامش چندگانه دارای پایداری سیاری است همچنین این خصوصیات روش را برای شیبیه‌سازی پدیده‌های توربولانس گزینه مناسبی می‌گرداند. یوان و همکارانش [25] یک الگوی زمان آرامش چندگانه گرمایی برای جریان‌های تراکم پذیر با ماخ بالا پیشنهاد داده‌اند. اخیراً هی یالینگ و همکارانش [26] جریان تراکم پذیر با امواج شوک را در حالت یک تا سه‌بعدی به کمک تابع توزیع دوگانه تحلیل کردند. در این روش از تابع توزیع تعادلی چگالی برای مدل کردن جریان میدان و از تابع توزیع انرژی کل برای شیبیه‌سازی میدان دما استفاده شده است. فرم گستته توابع توزیع چگالی و انرژی کل به کمک بسط چندجمله‌ای هرمیت به دست آمده است. همچنین فرم گستته شده سرعت را با کمک چندجمله‌ای گاوس-هرمیت مربعی به دست آورندند. برای بهبود دقت و پایداری در گرفتن شوک از روش اختلاف محدود صریح - ضمنی که پایه این روش بر اساس کم کردن ناپایداری فلاکس محدود کننده است، استفاده شده است همچنین نجات و عبداللهی [27] با ترکیب روش‌های کاهش تنوع کلی⁴ و لکس وندروف اصلاح شده و معرفی نوعی محدود کننده شار روش جدیدی ارائه دادند. به طور کلی استفاده از روش‌های مرسوم و با دقت بالای جداکننده شار⁵ دینامیک سیالات محاسباتی به همراه روش شبکه بولتزمن جواب‌های قابل قبول و با دقت بالا ارائه می‌دهد. روش گستته سازی در این تحقیق همان روش لکس وندروف اصلاح شده هست که با توجه به نجات [27] جواب‌های نسبتاً دقیقی دارد.

2- الگوی تراکم پذیر اویلری

برای حل مسائل تراکم پذیر ابتدا از جملات دارای لزجت صرف‌نظر می‌شود. با کمک این ساده‌سازی به معادلات تراکم پذیر لرج اویلر می‌رسیم. مدل اویلر در هر سه بعد به دست کاتانوکا و سوتاهارا گستته سازی شده است. مدل اویلر یکبعدی به صورت $D_0 Q_0$ می‌باشد که دارای پنج سرعت گستته می‌باشد. در حالت دوبعدی به صورت $D_2 Q_2$ که دارای نه سرعت گستته و در حالت سه‌بعدی $D_3 Q_{15}$ دارای پانزده سرعت گستته می‌باشد. توزیع سرعت‌های گستته یکبعدی و دوبعدی در روش اویلر در شکل 1 نشان

3- Double Distribution Function

4- Total variation diminishing (TVD)

5- Flux limiting method

مسئله کاویتاسیون و دینامیک حباب‌ها توسط رایلی [1] در سال 1917 انجام شد. رایلی مسئله ترکیدن حباب خالی و حباب پر از گاز را با فرض تراکم هم‌دمای گاز داخل حباب در یک محیط آبی بزرگ حل کرد. توجه او به این مسئله از نگرانی‌هایی که بات کاویتاسیون و اثرات مخرب آن وجود داشت نشأت گرفته بود، سپس او رابطه‌ای برای حباب نوسان گر به دست آورد. فرنل و شولتس [2] اولین بار توانستند اثر حاصل از نوسان حباب را ثبت کنند. رابرتر و همکاران [3] با شبیه‌سازی انجام شده و فرایمیاتی همچون نادیده گرفتن لزجت و انتقال جرم و حرارت میان حباب و سیال، وجود موج ضربه‌ای و نقش کلیدی آن در ایجاد فشار و دمای بالا را مطرح نمودند. پس از آن ماس و همکاران [4] و نیز کاندیچ [5] با فرض تجزیه شیمیایی و نیز پدیده یونیزاسیون درون حباب و با توجه به گرمگیر بودن این پدیده‌ها درجه حرارت‌های ماکزیمم کمتری را ثبت نمودند. از جمله تحقیقاتی که با رویکرد مولکولی انجام شده است، می‌توان به شبیه‌سازی توسط راث و پاترمن [6] اشاره کرد. وگنولی و همکارانش [7] تأثیر پارامترهای مختلف بر پدیده آوالیانسی را بررسی کردند. سینامون [8] با کمک دینامیک سیالات محاسباتی پدیده فروریزش حباب را با جواب‌های حاصل از معادله رایلی پلسه مقایسه کرد. ماراس و برنز [9, 10] پدیده آوالیانسی را به صورت تجربی بررسی کردند و پارامترهای تأثیرگذار را مورد بررسی قراردادند. شبیه‌سازی پدیده آوالیانسی به کمک روش شبکه بولتزمن به علت ناکارآمدی‌هایی که در شبیه‌سازی جریانات تراکم پذیر دارد، تاکنون انجام نشده است اما با پیشرفت‌های اخیر در توسعه مدل‌های جدید تراکم پذیر شبکه بولتزمن، شبیه‌سازی این پدیده نیز امکان‌پذیر شده است.

2- روش شبکه بولتزمن تراکم پذیر

در روش قدیمی شبکه بولتزمن که اپراتور برخورد با تقریب باتانگار-گراس-کروک¹ به دست می‌آمد، به علت فرض ماخ پایین در بسط تیلور تابع توزیع تعادلی ماکسول، روشی مناسب برای حل جریان تراکم پذیر نبود [11]. تلاش‌هایی برای برطرف کردن این مشکل در روش شبکه بولتزمن انجام گرفت. مشکلات ریشه‌ای همچون پایداری پایین و نوسانات زیاد نسبت به روش‌های مرسوم دینامیک سیالات محاسباتی و عدم شبیه‌سازی جریان‌هایی با ماخ بالا سبب شد مدل‌هایی جدیدی ارائه شود، مدل‌های ارائه شده بر دودسته بودند. دسته‌ای از مدل‌ها بر پایه تغییر روش به دست آمدن تابع توزیع تعادلی از تابع توزیع تعادلی ماکسول بناسنده بودند و تعدادی از روش‌ها نیز بر روی روش‌های گستته سازی زمانی و مکانی پایدارتر تمرکز کرده بودند. جی و همکاران [12] مدل حجم محدودی با استفاده از حل کننده شار بیان کردن و نتایج را با روش مرسوم گودونف مقایسه نمودند که به علت اینکه حل در سطح تماس به صورت صریح به دست آمده بود نسبت به گودونف دقت و سرعت بالاتر داشت. فنگ و همکارانش [13] ترم مکانی را با روش اساساً غیر نوسانی وزن دار² گستته کردند. همچنین با کمک روش لکس وندروف و اضافه کردن ترم لزجت مصنوعی به آن توانستند پایداری روش را افزایش دهند. الکساندر و همکارانش [14] اولین مدل حرارتی با بسط تابع توزیع تعادلی تا مرتبه 3، مدلی با 13 سرعت گستته را ارائه کردند. چن و همکارانش [15] توانستند کار الکساندر و همکارانش را توسعه داده و ترم‌های غیرخطی را در آن حذف کنند و معادله انرژی را پوشش دهند. هی و

1- Bhatangar-Gross-Krook
2- weighted essentially non-oscillatory (WENO)

داده شده است.

تابع توزیع تعادلی و ضرایب آن در حالت یک بعدی به صورت معادله (1) به دست می‌آید [13] :

$$f_i^{eq} = \rho(A_i + B_i c_{i1}) \quad i = 1, \dots, 5 \quad (1)$$

$$c_{i1} = \begin{cases} 0 & i = 1 \\ v_1 \cos(\pi i) & i = 2, 3 \\ v_2 \cos(\pi i) & i = 3, 4, 5 \end{cases} \quad (2)$$

$$B_i = \begin{cases} \frac{-v_2^2 + (b+2)T + u_\alpha^2}{2v_2^2(v_1^2 - v_2^2)} & i = 2, \dots, 5 \\ \frac{-v_1^2 + (b+2)T + u_\beta^2}{2v_2^2(v_2^2 - v_1^2)} & i = 6, \dots, 9 \end{cases} \quad (3)$$

ضرایب A_i نیز از رابطه زیر به دست می‌آیند:

$$A(i=1) = \frac{b-2}{\eta_0^2} T$$

$$A(i=2, 3) = \frac{1}{4(v_1^2 - v_2^2)} \times \left(-v_2^2 + \left((b-1) \frac{v_2^2}{\eta_0^2} + 1 \right) T + u_1^2 \right)$$

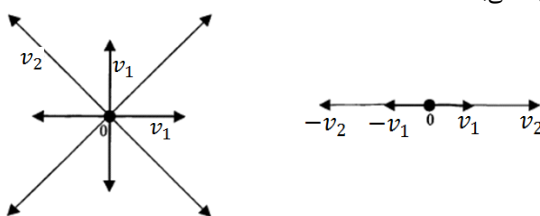
$$A(i=4, 5) = \frac{1}{2(v_2^2 - v_1^2)} \times \left(-v_1^2 + \left((b-1) \frac{v_1^2}{\eta_0^2} + 1 \right) T + u_1^2 \right) \quad (4)$$

$$\eta_i = \begin{cases} \eta_i & i = 1 \\ 0 & i = 2, 3, 4, 5 \end{cases} \quad (5)$$

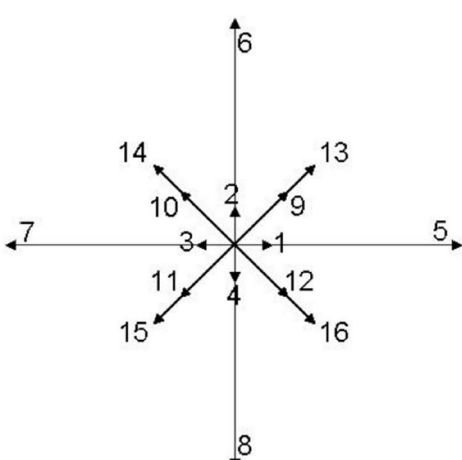
$$b = \frac{2}{\gamma - 1} \quad (6)$$

که v_1, v_2, η_0 ثابت‌های غیر صفر می‌باشد. یک انتخاب مناسب برای این مقادیر صادق بودن این پارامترها در شرط‌های $v_2 = 2v_1$ و نیز $v_1 = 2, \eta_0 = 3, v_2 < \eta_0 < v_1$ می‌باشد. در اینجا مقادیر f_i^{eq} را ارائه نمودند که در ادامه به سرعت و مقادیر جدیدی برای c_{i1}, c_{i2}, f_i^{eq} می‌برداریم. در شکل 2 توزیع سرعت‌های روش نویر استوکسی آورده شده است.

ثوابت c_{i1}, c_{i2} مقادیر بردارهای یکه در جهت‌های مختلف ارائه شده در شکل 2 می‌باشند.



شکل 1 توزیع سرعت‌های گستته یک بعدی و دو بعدی اویلر [13]



شکل 2 توزیع سرعت‌های گستته دو بعدی در مدل 16 سرعت نویر استوکسی [13]

$$f_i^{eq} = \rho(A_i + B_i c_{i1} + D_i u_\alpha c_{i\alpha} u_\alpha c_{i\beta}) \quad i = 1, \dots, 9 \quad (7)$$

تفاوت رابطه (1) با رابطه (7) در وجود ترم $D_i u_\alpha c_{i\alpha} u_\alpha c_{i\beta}$ می‌باشد.

این ترم به علت دو بعدی بودن معادلات حاکم به مسئله اضافه شده است.

$$(c_{i1}, c_{i2}) = \begin{cases} (0,0) & i = 1 \\ v_1 \left(\cos \frac{\pi i}{2}, \sin \frac{\pi i}{2} \right) & i = 2, \dots, 5 \\ v_2 \left(\cos \pi \left(\frac{i}{2} + \frac{1}{4} \right), \sin \pi \left(\frac{i}{2} + \frac{1}{4} \right) \right) & i = 6, \dots, 9 \end{cases} \quad (8)$$

$$\eta_i = \begin{cases} \eta_i & i = 1 \\ 0 & i = 2, \dots, 9 \end{cases} \quad (9)$$

ضرایب A_i نیز از رابطه زیر به دست می‌آیند:

$$A(i=1) = \frac{b-2}{\eta_0^2} T$$

$$A(i=2, \dots, 5) = \frac{1}{4(v_1^2 - v_2^2)}$$

معادله اصلاح شده لکس وندروف به فرم معادله ۱۶ می‌باشد که در این معادله برای بهبود دقت و پایداری در جریان‌های با عدد ماخ بالا، جمله پراکنده‌گی (مشتق مرتبه سوم تابع توزیع) به همراه ویسکوزیته مصنوعی (مشتق مرتبه دوم تابع توزیع) به سمت راست معادله ۱۶ افزوده شده است [23].

$$\frac{\partial f_i}{\partial t} + v_{i\alpha} \frac{\partial f_i}{\partial x_\alpha} = -\frac{1}{\tau} (f_i - f_i^{\text{eq}}) + \frac{c_{i\alpha}(1 - c_{i\alpha}^2)}{6} \Delta x_\alpha^2 \frac{\partial^3 f_i}{\partial x_\alpha^3} + \theta_{al} |\kappa_\alpha| (1 - |\kappa_\alpha|) \frac{\Delta x_\alpha^2}{2\Delta t} \frac{\partial^2 f_i}{\partial x_\alpha^2} \quad (16)$$

$$c_{i\alpha} = \frac{v_{i\alpha} \Delta t}{\Delta x_\alpha} \quad (17)$$

$$\kappa_\alpha = \frac{u_\alpha \Delta t}{\Delta x_\alpha} \quad (18)$$

$$\theta_{al} = \lambda \left| \frac{p_{al+1} - p_{al} + p_{al-1}}{p_{al+1} + 2p_{al} + p_{al-1}} \right| \quad (19)$$

در معادلات (15) و (16) و (17) و (18) u_α سرعت سیال و γ پارامتر تنظیم‌کننده اندازه ویسکوزیته می‌باشد. تابع سوبیچینگ θ_{al} می‌باشد که در منطقه شوک $1 \rightarrow \theta_{al}$ و در سایر مناطق $0 \rightarrow \theta_{al}$ می‌باشد. بدین ترتیب معادلات تغییریافته شبکه بولتزمن به فرم زیر درمی‌آید [13]:

$$f_{i,I}^{\text{new}} = f_{i,I} - \frac{c_{i\alpha}}{2} (f_{i,I+1} - f_{i,I-1}) - \frac{\Delta t}{\tau} (f_{i,I} - f_{i,I}^{\text{eq}}) + \frac{c_{i\alpha}(1 - c_{i\alpha}^2)}{12} \times (f_{i,I+2} - 2f_{i,I+1} + 2f_{i,I-1} - f_{i,I-2}) + \frac{\theta_{al} |1 - |\kappa_\alpha||}{2} (f_{i,I+1} - 2f_{i,I} + f_{i,I-1}) \quad (20)$$

3- شبیه‌سازی پدیده‌های تراکم پذیر

در این قسمت مسائل مختلف یک بعدی و دو بعدی با رویکردهای اویلری و نویر استوکسی موردنبررسی قرار می‌گیرد. ابتدا با مسئله ریمان و لوله شوک شروع می‌کنیم. هندسه مسئله ریمان بدین گونه است که لوله‌ای یک بعدی داریم که دو نوع سیال متفاوت در این لوله با دیافراگمی از یکدیگر جدا شده‌اند. این دیافراگم ناگهان پاره می‌شود به علت عدم تعادل در دو طرف این دیافراگم جریانی غیر دائم ایجاد می‌شود که شامل موج شوک و یا ناپیوستگی و فن انبساطی می‌باشد. برای تست کردن کد روش مسئله ساده ساد را به صورت یک بعدی و سپس مسئله‌ای تراکم پذیر به صورت دو بعدی حل می‌کنیم. هدف از این قسمت بررسی صحت مدل‌های کد نویسی شده در مسائل ساده تراکم پذیر می‌باشد.

3-1- شبیه‌سازی یک بعدی مسئله ساد

شرایط اولیه در مسئله ساد به صورت زیر می‌باشد (که خواص به صورت بی‌بعد می‌باشند):

$$\begin{cases} (\rho, u_1, u_2, p) = (1, 0, 0, 1) & x < 0.5 \\ (\rho, u_1, u_2, p) = (1, 0, 0, 1) & x \geq 0.5 \end{cases} \quad (21)$$

پارامترهای مدل برابرند با $dx = 2 \times 10^{-3}$, $dt = 1.25 \times 10^{-4}$ و $t = 0.15$. $v_1 = 2$, $\eta_0 = 3$, $v_2 = 2$, $k = 1$, $\lambda = 1.4$ و $\varepsilon = 10^{-4}$ می‌باشد. در زمان $t = 0.15$ ثانیه نتایج حاصل از شبیه‌سازی با دو روش اویلر و نویر استوکس و مقایسه با حل دقیق در شکل‌های ۳, ۴, ۵ و ۶ آورده شده است.

$$(c_{i1}, c_{i2}) = \begin{cases} \text{cyc : } (\pm 1, 0) & i = 1, \dots, 4 \\ \text{cyc : } (\pm 6, 0) & i = 5, \dots, 8 \\ \sqrt{2} (\pm 1, \pm 1) & i = 9, \dots, 12 \\ \frac{3}{\sqrt{2}} (\pm 1, \pm 1) & i = 13, \dots, 16 \end{cases} \quad (13)$$

$$\eta_i = \begin{cases} \eta_i & i = 1, \dots, 4 \\ 0 & i = 5, \dots, 16 \end{cases} \quad (14)$$

$$f_i^{\text{eq}} = \rho [a_{0i} + a_{0i}T + (a_{0i} + a_{0i}T)u_\alpha^2 + a_{5i}u_\alpha^2u_\beta^2 + (b_{0i} + b_{1i}T + b_{2i}u_\alpha^2)u_\beta c_{i\beta} + (d_{0i} + d_{1i}T + d_{2i}u_\alpha^2)u_\beta c_{i\beta} u_\chi c_{i\chi} + e_i u_\alpha c_{i\alpha} u_\beta c_{i\beta} u_\chi c_{i\chi}] \quad (15)$$

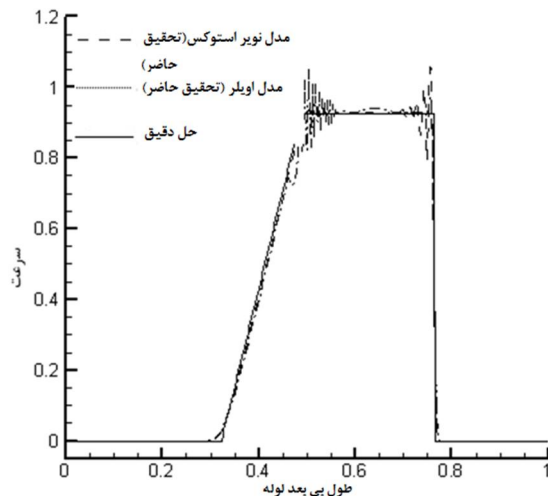
ضرایب تابع توزیع تعادلی معادله ۱۵ در جدول ۱ آورده شده است [13].

2- نحوه گسترش سازی معادلات تراکم پذیر

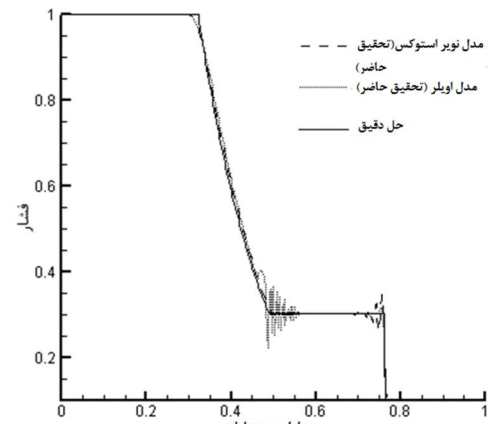
یکی از مزایای روش شبکه بولتزمن نسبت به سایر روش‌ها تولید آسان شبکه در آن می‌باشد. شبکه موجود در روش بولتزمن در اکثر مواقع به صورت سازمان یافته است (گرچه جدیداً کارهای برای حل شبکه بی‌سازمان در روش بولتزمن انجام شده است). تکنیک لکس وندروف یک روش اختلاف محدود صریح است که به طور اخص با حل‌های گام‌به‌گام سازگار است. ایراد این روش وجود اثرات پخشی بسیار می‌باشد که اثراتش را در گرادیان‌ها و ناپیوستگی‌های بزرگ نشان می‌دهد. چنین ویژگی‌هایی سبب می‌شود که این روش برای شبیه‌سازی شوک مناسب نباشد. برای از بین بردن نوسانات پارازیتی معادلات لتیس بولتزمن و افزایش پایداری در اعداد ماخ بالا به معادلات حاکم بر روش لکس وندروف ترم ویسکوزیته مصنوعی اضافه می‌شود.

جدول ۱ ضرایب تابع توزیع تعادلی معادله (15) [13]

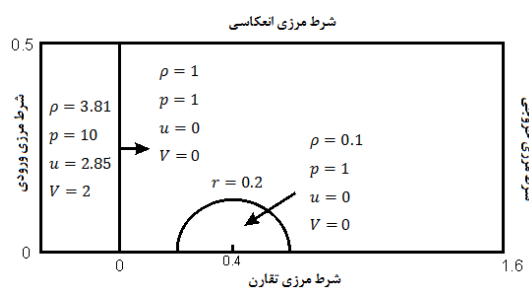
13 – 16	9 – 12	5 – 8	1 – 4	i
$\frac{-4}{15}$	$\frac{81}{160}$	$\frac{1}{96}$	0	a_{0i}
$\frac{89b + 222}{2700}$	$\frac{-229b + 8}{3200}$	$\frac{-121b - 408}{86400}$	$\frac{b - 2}{25}$	a_{1i}
$\frac{-b - 2}{270}$	$\frac{b + 2}{320}$	$\frac{b + 2}{1728}$	0	a_{2i}
$\frac{13}{135}$	$\frac{-117}{640}$	$\frac{-799}{397440}$	$\frac{-36}{115}$	a_{3i}
$\frac{2b - 9}{270}$	$\frac{19b + 38}{640}$	$\frac{19b + 306}{397440}$	$\frac{b + 4}{115}$	a_{4i}
$\frac{-1}{135}$	$\frac{9}{640}$	$\frac{9}{397440}$	$\frac{1}{115}$	a_{5i}
$\frac{-2}{45}$	$\frac{9}{40}$	0	0	b_{0i}
$\frac{2(7b + 11)}{2025}$	$\frac{-14b + 3}{400}$	$\frac{-2b + 29}{32400}$	$\frac{2(b - 2)}{25}$	b_{1i}
$\frac{-7}{810}$	$\frac{1}{80}$	$\frac{-1}{2592}$	0	b_{2i}
$\frac{-2}{405}$	$\frac{9}{160}$	$\frac{-29}{298080}$	$\frac{72}{115}$	d_{0i}
$\frac{b + 4}{810}$	$\frac{-b - 4}{160}$	$\frac{b + 4}{74520}$	$\frac{-2(b + 4)}{115}$	d_{1i}
$\frac{1}{810}$	$\frac{-1}{160}$	$\frac{1}{74520}$	$\frac{-2}{115}$	d_{2i}
$\frac{8}{3645}$	$\frac{-3}{320}$	$\frac{1}{46656}$	0	e_i



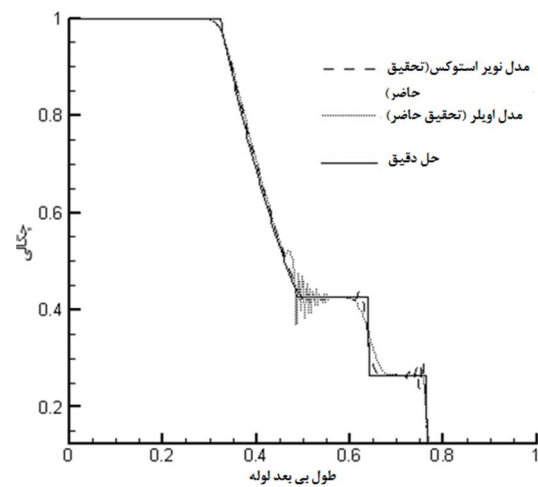
شکل 6 توزیع سرعت بی بعد در لوله موج ضربه برای مسئله ساد



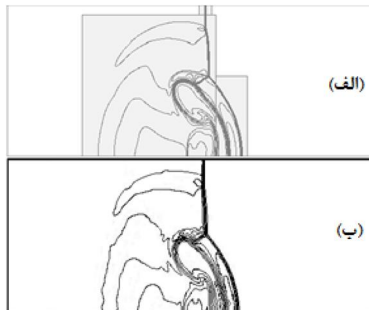
شکل 3 توزیع فشار بی بعد در لوله موج ضربه برای مسئله ساد



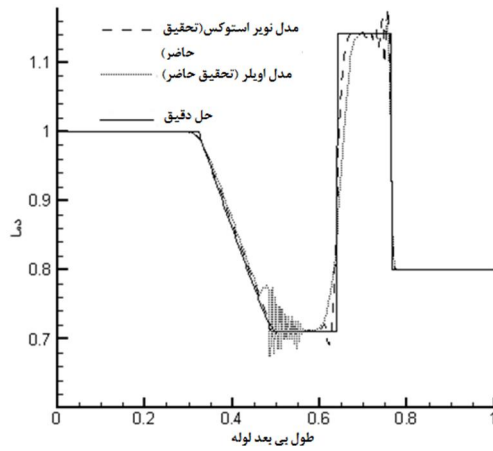
شکل 7 هندسه دو بعدی و شرایط مرزی اولیه حاکم بر مسئله موج شوک در سیلندر حاوی تک حباب [28]



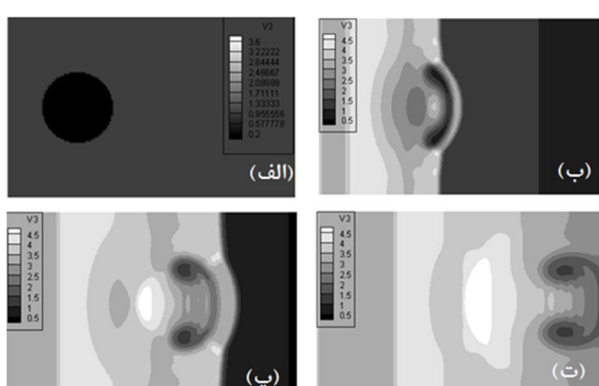
شکل 4 توزیع چگالی بی بعد در لوله موج ضربه برای مسئله ساد



شکل 8 مقایسه خطوط کانتور چگالی به روش (الف) دینامیک سیالات محاسباتی با بهبود شبکه [28] و (ب) شبکه بولتزمن چند سرعته در زمان 0/2 ثانیه



شکل 5 توزیع دما بی بعد در لوله موج ضربه برای مسئله ساد



شکل 9 کانتور دوبعدی چگالی (کیلوگرم بر متر مکعب) به روش شبکه بولتزمن چند سرعته (الف زمان 0 ثانیه، ب زمان 0/1 ثانیه، ج زمان 0/3 ثانیه، د زمان 0/5 ثانیه)

1-1-3- شبیه‌سازی دو بعدی موج شوک در سیلندر حاوی حباب شوکی صفحه‌ای با سیلندری حاوی حباب با چگالی کم برخورد می‌کند. شرایط اولیه در شکل 7 نشان داده شده است. خطوط کانتور چگالی با حل دینامیک سیالات محاسباتی در شکل 8 مقایسه شده‌اند. همچنین کانتورهای چگالی در شکل 9 در زمان‌های متفاوت آورده شده‌اند.

شرط مرزی ورودی و خروجی در ابتدا و انتهای سیلندر اعمال شده است. در خروجی کانال از درون یا بی استفاده می‌شود.

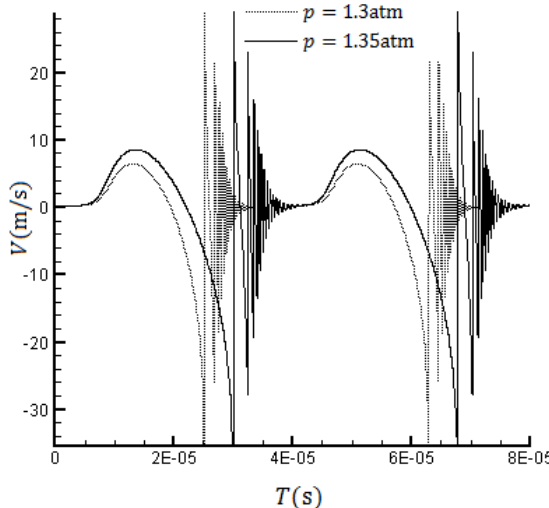
که سرعت صوت در سیال می‌باشد. همچنین از معادله حالت واندروالسی برای توصیف فشار گاز در داخل حباب استفاده می‌شود.

$$p_{\text{gas}}(t) = (p_0 + \frac{2S}{R_0^3}) \left(\frac{R_0^3 - h^3}{R_0^3(t) - h^3} \right)^2 \quad (24)$$

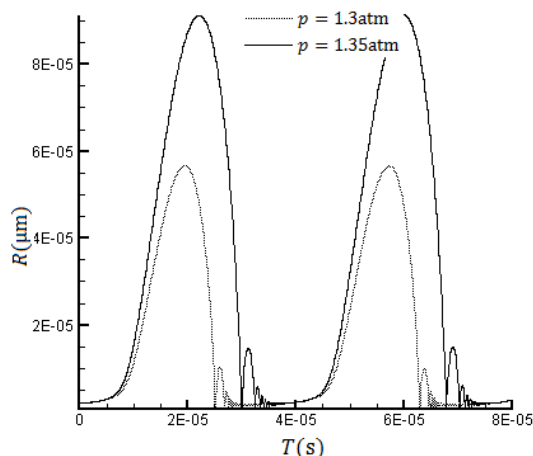
ترم مشتق زمانی فشار گاز را نیز می‌توان به صورت زیر به دست آورد:

$$\frac{d}{dt} p_{\text{gas}} = -3\gamma p_{\text{gas}} \frac{R^2}{R^3 - h^3} \dot{R} \quad (25)$$

در معادلات بالا R_0 شاعع اولیه حباب و h ثابت معادله واندروالسی می‌باشد همانطور که در معادله بالا می‌بینیم فشار گاز بر حسب زمان در راستای شعاع تغییر می‌کند. معادله رایلی-پلسه معادله‌ای از مرتبه دو با دو شرط اولیه می‌باشد. برای حل عددی این معادله ابتدا آن را به دو معادله مرتبه یک تبدیل می‌کنیم و تشکیل یک دستگاه معادلات می‌دهیم. برای حل معادله مذکور از روش رانگ کوتا مرتبه چهار استفاده شد. در شکل‌های 10 و 11 تأثیر افزایش فشار نوسانی بر شاعع و سرعت جداره حباب نشان داده شده است. در این شکل‌ها شاعع اولیه حباب $R_0 = 2.0 \times 10^{-6}$ متر و فرکانس فرماحت برابر $(kHz) 26.5$ می‌باشد [3]. سرعت مرز حباب از طریق معادله رایلی پلسه به دست می‌آید.



شکل 10 مقدار سرعت بر حسب زمان با فشار نوسانی $1/35$ و $1/3$ اتمسفر



شکل 11 مقدار شعاع بر حسب زمان با فشار نوسانی $1/35$ و $1/3$ اتمسفر

4- دینامیک حباب

دینامیک حباب بخشی از فیزیک است که به بررسی رفتار حباب می‌پردازد. یکی از کاربردهای دینامیک حباب، بهبود روش‌های عکس‌برداری از رگ‌های خونی توسط امواج مافوق صوت است که کاربرد پرشکی دارد، این مهم نیاز به شناخت کامل دینامیک حباب‌های گازی دارد. معادلات دینامیک حباب‌های گازی مستغرق در آب که همان معادلات رایلی-پلسه هستند به صورت عددی حل می‌شوند. اهمیت دیگر بررسی دینامیک حباب گازی در بررسی پدیده بسیار مهم کاویتانسیون در صنعت است که در واقع حباب‌هایی که در مناطق کم‌فشار سیال ایجاد می‌شوند با حرکت به سمت مناطق پرفشار همان رفتار دینامیکی را از خود نشان می‌دهند که معادلات رایلی پلسه توصیف می‌کنند. در واقع این کاربرد برای ما اهمیت دارد [4].

4- پدیده آوالیانسانی

پدیده آوالیانسانی هنگامی رخ می‌دهد که حباب به صورت آکوستیکی با فرکانس اولتراسونیک به صورت دوره‌ای نوسان می‌کند. این پدیده همراه با فروریزش حباب، کاویتانسیون و تولید نور می‌باشد. انرژی که از فروریزش حباب تولید می‌شود به حدی زیاد است که باعث تولید نور می‌شود. بعد از کشف آوالیانسانی، محققین مطالعات بسیاری بر روی جنبه‌های مختلف تئوری و آزمایشگاهی این پدیده انجام دادند. از لحاظ آزمایشگاهی، شناخت ویژگی‌های تابش و بستگی آن به جنس مایع و گاز داخل حباب بیشتر مورد توجه قرار گرفت، اما از دیدگاه تئوریک توصیف دینامیک حباب و توصیف مکانیزم تابش، بیشتر مورد توجه قرار داشت. تا سال 1990 تولید سونولومینسانس تنها به روش چند حباب و به صورت گذرا و غیرقابل پیش‌بینی امکان‌پذیر بود. مشکل این روش عدم کنترل بر روی زمان تولید تابش است که شناخت ویژگی‌های آزمایشگاهی و پهنهای زمانی تابش سونولومینسانس را بسیار مشکل می‌کرد، با کاهش فشار شعاع حباب زیاد شده و مایع را پس می‌زند در ادامه فشار موج سینوسی افزایش پیدا می‌کند و به علت موقت جهت فشار محیطی و فشار نوسانی با جهت نوسان شعاعی، جدار با سرعت بیشتری نسبت به حالت قبل کوچک می‌شود و حرکات جدار از خود بروز می‌دهد (مرحله فروریزش). همچنان که فشار افزایش نوسانی ایجاد کرده، حرکت شعاعی حباب تدریجاً به دلیل اثرات اینرسی غیرخطی می‌شود. اغلب از موج سینوسی برای تولید آوالیانسانی استفاده می‌شود؛ اما این موج می‌تواند با موج مثلثی و مربعی نیز جایگزین شود [4].

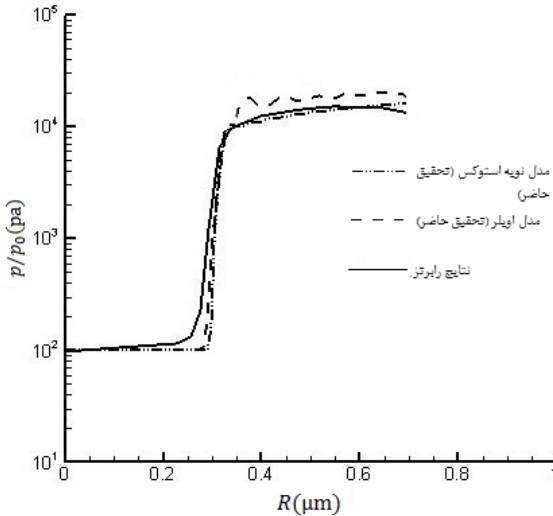
4-2- معادله رایلی پلسه

فرم مرسوم معادله رایلی پلسه با فرض تراکم ناپذیری به دست آمده است، فرض حذف این خاصیت در بسیاری از کاربردهای هیدرودینامیکی قابل استفاده است، اما در مسئله آوالیانسانی به علت اینکه مقادیر بسیار بالایی از انرژی آکوستیک حباب در فرم موج شوک به سیال منتقل می‌شود (فقط مقدار اندکی به نور تبدیل می‌شود)، این فرض منطقی نیست. با فرض وجود ترم تراکم‌پذیری به سمت راست معادله (22) ترم مشتق زمانی فشار گاز اضافه می‌شود:

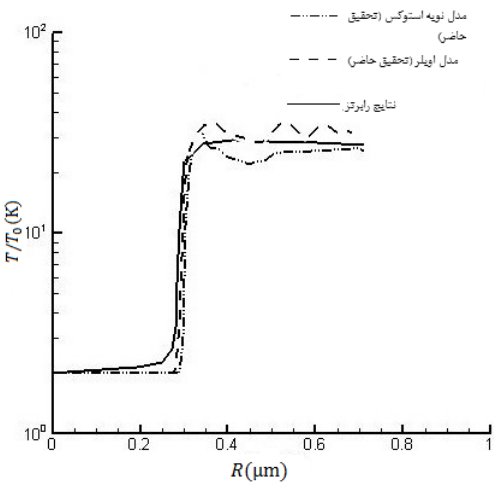
$$\rho \left(\dot{R} \ddot{R} + \frac{3}{2} \dot{R}^2 \right) = p_{\text{gas}} - p_0 - p(t) \quad (22)$$

$$-4\mu \frac{\dot{R}}{R} - \frac{2S}{R} + \frac{R}{C} \frac{d}{dt} p_{\text{gas}} \quad (23)$$

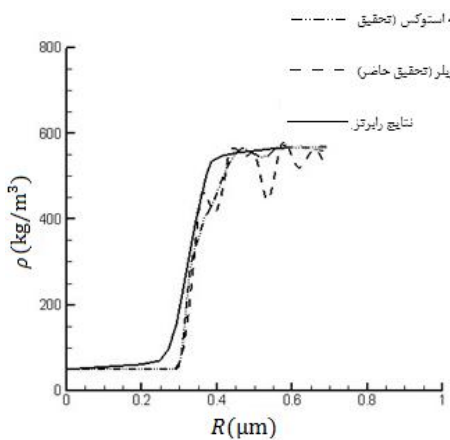
$$p(t) = -p_a \sin(\omega t) \quad (24)$$



شکل 12 مقایسه توزیع فشار حباب در روش های دینامیکی سیالات محاسباتی و لتیس بولتزمن (زمان t_g)



شکل 13 مقایسه توزیع دما حباب در روش های دینامیکی سیالات محاسباتی و لتیس بولتزمن (زمان t_g)

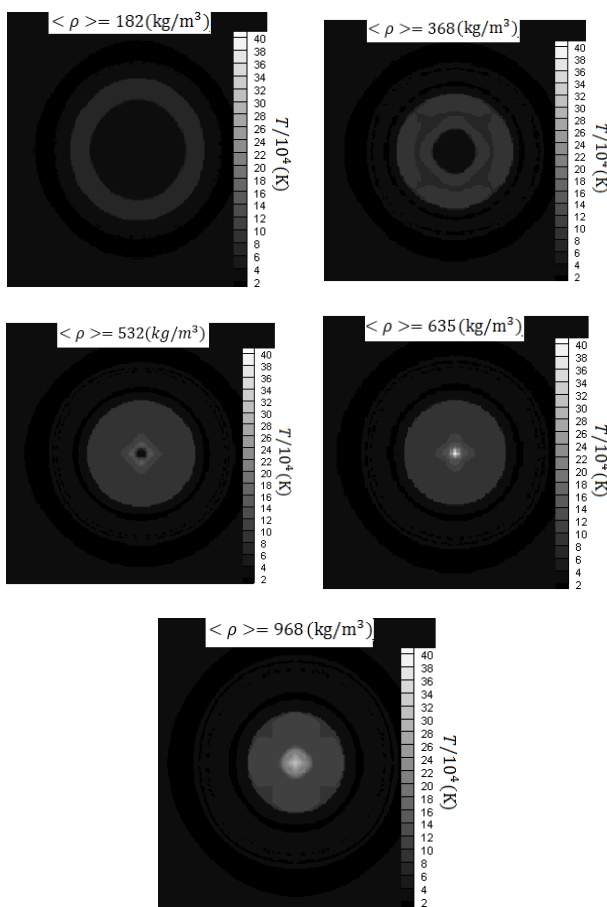


شکل 14 مقایسه توزیع چگالی حباب در روش های دینامیکی سیالات محاسباتی و لتیس بولتزمن (زمان t_g)

3-4- شبیه‌سازی آوالیانسانی در شبکه بولتزمن

برای شبیه‌سازی در میدان بولتزمن ابتدا بی بعد سازی انجام شده است. با استفاده از نتایج رابرتر [3] و مقادیر مرجع مسئله را بی بعد ساختیم. بی بعد سازی به صورت $6 \times 10^{-6} L = 10^5, p_0 = 10^5$ می باشد. سرعت بی بعد مرز حباب با کمک رابطه رایلی در هنگام فروریزش حباب به دست می آید در دینامیک حباب ساده‌سازی‌هایی در نظر گرفته می شود. شکل حباب در دینامیک حباب به صورت کروی در نظر گرفته می شود در صورتی که در واقع حباب کروی نیست. تغییرات خواص در زمان اولیه در دامنه‌های هر فاز ثابت در نظر گرفته شده است که البته در زمان اولیه این فرض نسبتاً درست می باشد ولی باز هم ایجاد خطای کند همچنین در تحقیق حاضر خواص در هر یک از دو فاز در کل دامنه دارای تغییرات شعاعی در نظر گرفته شد، در صورتی که خواص حباب در واقع در جهت‌های دیگر نیز دارای تغییراتی است. شرط مرزی‌های اعمال شده در وجوده میدان محاسباتی شرط مرزی مزهای باز می باشد و برای شبیه‌سازی دیواره متحرک حباب سرعت جداره را از معادله رایلی به دست می آوریم منتها با اضافه کردن سرعت به مرز حباب از لحاظ بقای جرمی سیستم ایزوله نیست که جهت برطرف کردن این مشکل به میزان ورودی جرم متناظر با سرعت، تعدادی از نقاط شبکه را حذف می کنیم تا بقای جرم تقریباً برقرار باشد. شعاع اولیه مسئله مورد بررسی رابرتر $R_0 = 4.5 \times 10^{-6}$ متر و فرکانس فرماحت برابر 26.5 (kHz) فرض شده است. خواص ترمودینامیکی در زمان‌ها t_a, t_b بررسی شدند که $t_b = t_a + 0.19864$ میکروثانیه می باشد. با کمک دو روش اویلری و نویر استوکسی این پدیده در داخل حباب حل شده است و نتایج در اشکال 12، 13، 14، 15، 16، 17، 18 اورده شده است. نتایج موجود در این اشکال با کمک دو روش شبکه بولتزمن ذکرشده ترسیم شده است، همچنین برای صحت سنجی از روش دینامیک سیالات محاسباتی برای مقایسه استفاده شده است. همچنین کانتور دما در زمان‌های متفاوت در شکل 18 اورده شده است. نوسانات موجود در شکل‌های 12 تا 17 به علت ماهیت روش‌های استفاده شده و نوع گسته سازی معادلات حاکم بولتزمن می باشد. به طور کلی تمامی روش‌های عددی در ناپیوستگی‌ها دارای نوساناتی می باشد. به طور چه اختلاف خواص در دو طرف ناپیوستگی بیشتر باشد این نوسانات بیشتر خواهد بود. مدل نویر استوکسی شبکه بولتزمن به علت استفاده از تعداد جهات سرعت بیشتر، نوسانات کمتری نسبت به مدل اویلری شبکه بولتزمن دارد. نتایج مرجع رابرتر که از حل همزمان معادله رایلی - پلسه و معادلات اویلر جریان تراکم پذیر به دست آمده نیز دارای نوساناتی می باشند منتها این نوسانات به وسیله رابرتر با میانگین‌گیری حذف شده است. روند تغییرات خواص در تحقیق حاضر و تحقیق رابرتر در زمان‌های مختلف همانند هم می باشد، موج شوک از پوسته حباب با سرعت به سمت مرکز حباب حرکت می کند و در مرکز امواج شوک به هم برخورد می کنند که باعث می شود نسبت خواص در شکل‌های 16 و 17 بسیار زیاد شود. پاترمن [6] با انجام تحقیقی تجربی بیشینه دما در این پدیده را حدود 100000 کلوین به دست آورد که بیشینه دمای موجود در مرکز حباب در تحقیق حاضر به بیشینه دمای بدست آمده درداده های تجربی نسبت به داده های تحقیق رابرتر نزدیکی بیشتری دارد.

شبیه‌سازی پدیده آوالیانسانی توسط رابرتر خواص را در زمانی که موج شوک به مرکز حباب نزدیک می شود بیشتر از مقدار واقعیت به دست آورده است [6]، در صورتی که نتایج تحقیق حاضر تطابق بیشتری با نتایج تجربی دارد و این به علت نزدیکی ماهیت مزوکوپی روش شبکه بولتزمن به

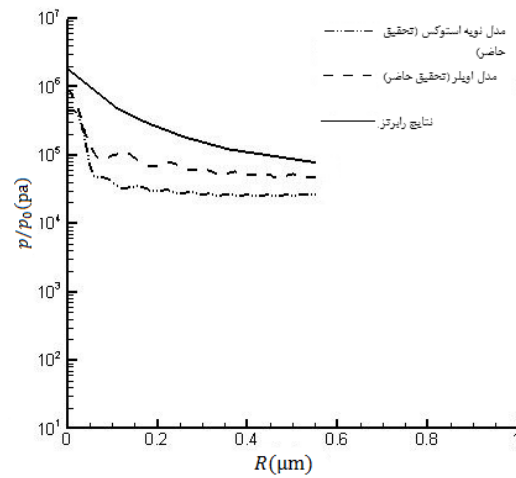


شکل 18 کانتور توزیع دما و چگالی متوسط در درون حباب در زمان‌های به ترتیب ۱۵۶، ۱۷۰ و ۲۰۵ پیکو ثانیه بعد از t_g

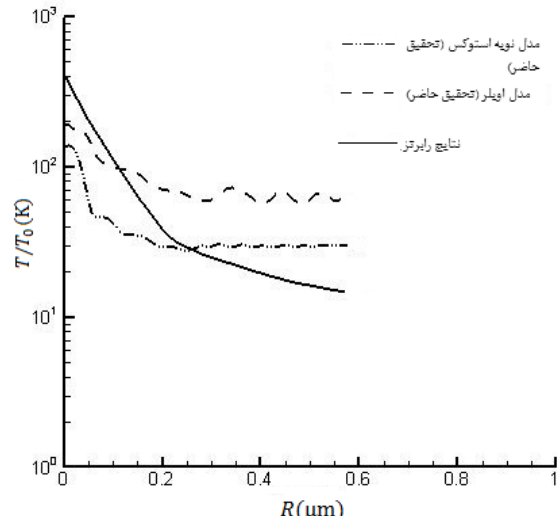
حل‌های میکروسکوپی نسبت به حل ماکروسکوپی معادلات اویلر می‌باشد و در نهایت شبیه‌سازی بهتر پدیده‌های طبیعی است.

5- نتایج شبیه‌سازی

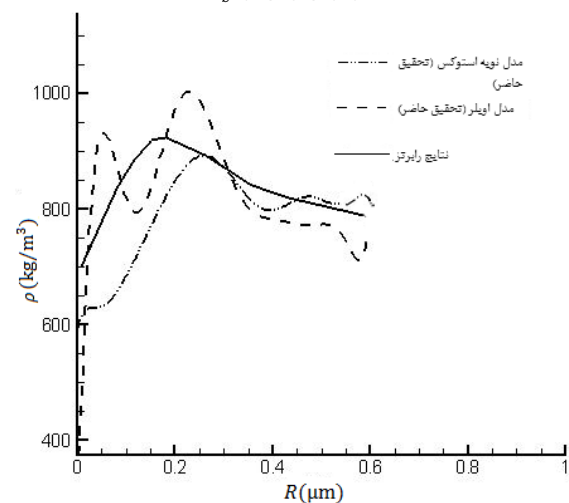
پدیده فروبریش حباب پدیده‌ای است که بررسی آزمایشگاهی آن بسیار دشوار می‌باشد به همین علت بیشتر به صورت عددی و تحلیلی این پدیده موردنبررسی قرار می‌گیرد. در این تحقیق گاز داخل حباب و سیال با یکدیگر به وسیله معادله رایلی-پلسه کوپل شده‌اند. نمودارهای ارائه شده در قسمت ۳-۴ به بررسی خواص ترمودینامیکی حاکم بر حباب بر حسب فاصله از مرکز و در زمان‌های مختلف می‌پردازد. نتایج حاصل از این نمودارها توسعه دو روش تراکم پذیر نویر استوکس و اویلر در شبکه بولتزمن به دست آمده‌اند. نتایج حاصل از شبکه بولتزمن با نتایج رابرتر [3] که به کمک حل معادلات تراکم پذیر اویلر به روش لکس فردیش به دست آمده بود مقایسه گردید. همانطور که در نمودارها دیده می‌شود، میزان خواص ترمودینامیکی (دما، چگالی، فشار) به سمت مرکز حباب افزایش می‌یابد و در نزدیکی مرکز حباب، به مقدار بیشینه رسید. همچنین به این نکته باید توجه داشت که هرچه شاعع محیطی حباب کوچک‌تر باشد بیشینه دما نیز بیشتر خواهد بود که این مسئله حساسیت رفتار داخلی حباب را به شرایط محیطی بیان می‌کند. جبهه موچ شوک که حاصل فروبریش موفق صوت دیواره حباب می‌باشد، موجب چگالش سریع انرژی می‌شود. دو روش شبکه بولتزمن که در این تحقیق استفاده شدند الگوهای ۹ سرعت و ۱۶ سرعت اویلر و نویر استوکس بودند که



شکل 15 مقایسه توزیع فشار حباب در روش‌های دینامیکی سیالات محاسباتی و لتبیس بولتزمن (زمان t_b)



شکل 16 مقایسه توزیع دما حباب در روش‌های دینامیکی سیالات محاسباتی و لتبیس بولتزمن (زمان t_b)



شکل 17 مقایسه توزیع چگالی حباب در روش‌های دینامیکی سیالات محاسباتی و لتبیس بولتزمن (زمان t_b)

- [13] F. Chen, A. Xu, G. Zhang, Y. Li, "Multiple-Relaxation-Time Lattice Boltzmann Model for Compressible Fluids", *Physics Letters A*, Vol. 375, pp. 1-8, 2129-2139, 2011.
- [14] F. Alexander, S. Chen, and J. Sterling, "Lattice boltzmann thermohydrodynamics", *Phys. Rev. E*, vol.47, pp.2249-2252, April 1993.
- [15] Chen, H. Ohashi, and M. Akiyama, "Thermal lattice bhatnagar-gross-krook model without nonlinear deviations in macrodynamical equations", *Phys. Rev. E*, vol.50, pp.2776-2783, Oct 1994.
- [16] X. He, C. S. and D. G.D. "A novel thermal model for the lattice boltzmann method in incompressible limit", *Journal of Computational Physics*, vol.146, no.1, pp.282-300, 1998.
- [17] Z. Guo, C. Zheng, B. Shi, and T. Zhao, "Thermal lattice boltzmann equation for low mach number flows: Decoupling model," *Phys. Rev. E*, vol.75, pp.036704, Mar 2007.
- [18] G. Yan, Y. Chen, and S. Hu, "Simple lattice boltzmann model for simulating flows with shock wave", *Phys. Rev. E*, vol.59, pp.454-459, Jan 1999.
- [19] Y.Ling,Q.Liu,Q.Li, "Three-dimensional finite-difference Lattice Boltzmann Model and its application to inviscid compressible flows with shock waves", *Phys. Rev. E*, vol.75, pp.334-376, Mar 2007.
- [20] M. Watari, M. Sutahara, "Two-Dimensional thermal model of the finite-difference lattice Boltzmann method with high spatial isotropy", *Phys. Rev.*, pp.1334-1376, E 67, 2003.
- [21] M. Watari, M. Sutahara, "Supersonic flow simulations by a three-dimensional multispeed thermal model of the finite difference lattice Boltzmann method", *Physica A*, vol. 364, pp. 129-144, 2006.
- [22] M. Watari, "Finite-Difference Lattice Boltzmann Method with Arbitrary Specific Heat Ratio Applicable to Supersonic Flow Simulation", *Physica A*, 382, pp. 502-522, 2007.
- [23] F. Chen, et al, "Highly Efficient Lattice Boltzmann Model for Compressible Fluids: Two-Dimensional Case", *Communications in Theoretical Physics*, Vol. 52, pp. 2502-2522, 2009.
- [24] T. Kataoka, M. sutahara, "Lattice Boltzmann model for the compressible Navier-Stokes equations with flexible specific-heat ratio", *Phys. Rev. E* 69, 035701, 2004.
- [25] X. Yuan, X. Chen, Z. Cheng, "Lattice Boltzmann Simulation of Cavitating Bubble Growth with Large Density Ratio", *Computers and Mathematics with Applications*, Accepted for Publication, pp. 23-40, 1998.
- [26] H.Yaling,L.Qing, and L.Qing, "Three-dimensional finite-difference lattice Boltzmann model and its application to inviscid compressible flows with shock waves", *phys.lett.* pp. 1-8, 1996.
- [27] A.Nejat, V. Abdollahi, "A Dritical Study of the Copressible Lattice Boltzmann Method for Riemann Problem", *Springer.J Sci Comput*, pp. 512-520, 2013
- [28] A generic framework for blockstructured Adaptive Mesh Refinement: http://amroc.sourceforge.net/examples/euler/3d/html/box3d_c.htm, November 2014.

الگوی اویلری به علت تعداد سرعت کمتر و عدم وجود لزجت در معادلات اصلی حاکم بر آن دارای نوساناتی به خصوص در زمانی که موج شوک به مرکز جباب می‌رسد بود. وجود تعداد جهت‌های سرعتی بیشتر علاوه بر این که زمان محاسبات را بیشتر می‌کند، جواب‌های دقیق‌تری می‌دهد همچنین الگوی نویر استوکسی به علت وجود لزجت در مرکز جباب موج ضعیفتری پیش‌بینی می‌کند. شبیه‌سازی به روش شبکه بولتزمن با داده‌های تجربی که بیشینه دما را حدود 100000 کلوین و یا بالاتر می‌دانند [6] همخوانی قابل قبولی دارد.

6- مراجع

- [1] H. Frenzel, H. Schultes, "Luminescenz im ultraschallbeschickten Wasser", *Z. Phys. Chem.* vol. 27, pp. 421-424, 1934
- [2] H. Frenzel, H. Schultes, "Luminescenz im ultraschallbeschickten Wasser", *Z. Phys. Chem.* vol. 27, pp. 421-424, 1934.
- [3] C. C. Wu, P. H. Roberts, "Shock-Wave Propagation in a Sonoluminescing Gas Bubble", *Phys. Rev. Lett.* vol. 70, pp. 3424-3427, 1993.
- [4] L. Kondic, J. I. Gersten, C. Yuan, "Theoretical Studies of Sonoluminescence Radiation: Radiative Transfer and Parametric Dependence", *Phys. Rev. E* 52, pp. 4976-4990, 1995.
- [5] L. Kondic, J. I. Gersten, C. Yuan, "Theoretical Studies of Sonoluminescence Radiation: Radiative Transfer and Parametric Dependence", *Phys. Rev. E* 52, pp. 4976-4990, 1995.
- [6] S. J. Ruuth, S. Puterman, B. Merriman, "Molecular Dynamics Simulation of the Response of a Gas to a Spherical Piston: Implications for Sonoluminescence", *Phys. Rev. E*, vol. pp.66, 036310, 2002.
- [7] L.L.Vegneli.Roberto. C.A, "Modelling of single bubble Soluminescence" physics,Vol.88,pp.18,jul,2014.
- [8] C.M.Christian, "ModellingLaser Generated Cavitation ,thesis,pennstate, pp.43-76,August, 2012.
- [9] M.dan, "Single Bubble Soluminescence ,thesis,pennstate, thesis Concordia university, pp.21-64, April,2000.
- [10] M.Bernard,S.Hilgenfeld, "single bubble Soluminescence",Review of Modern physics, Volume 74,pp.2132-2145, April,2014.
- [11] C.Z.Ji,C.Shu, and N.Zhao, A Lattice Boltzmann method-based flux solver and its application to solve shock tube problem, *Modern physics latters B*, Volume 23,number 3,pp.313-316,2009.
- [12] C.Z.Ji,C.Shu, and N.Zhao, A Lattice Boltzmann method-based flux solver and its application to solve shock tube problem, *Modern physics latters B*, Volume 23,number 3,pp.313-316,2009.